

Bild C1: Radialgitter (Siemenssterne) N-W, W-N, N-Z und W-Z; PS-Operator:  $w^*lin\ 1.0\ exp\ setgray$

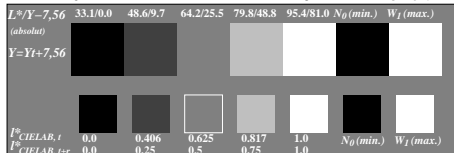


Bild C2: 5 visuell gleichabständige  $L^*$ -Graustufen +  $N_0$  +  $W_1$ ; PS-Operator:  $w^*lin\ 1.0\ exp\ setgray$

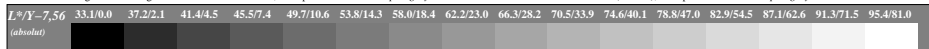


Bild C3: 16 visuell gleichabständige  $L^*$ -Graustufen; PS-Operator:  $w^*lin\ 1.0\ exp\ setgray$ ; benutze Datei [www.bam.de/KG87/10D/D87G00NA.PS](http://www.bam.de/KG87/10D/D87G00NA.PS) oder [D87G00NP.PS](http://www.bam.de/D87G00NP.PS) für DPS-/PDF-Systeme zur Bild-Ergänzung

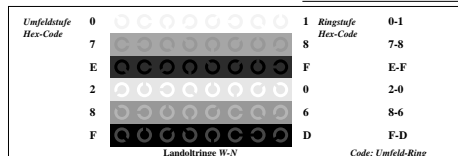


Bild C4: Landoltringe W-N; PS-Operator:  $w^*lin\ 1.0\ exp\ setgray$

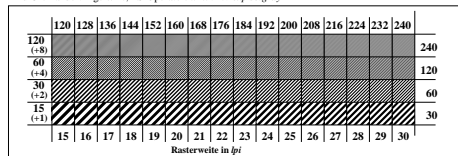


Bild C5: Linienraster unter 45° (oder 135°); PS-Operator:  $w^*lin\ 1.0\ exp\ setgray$

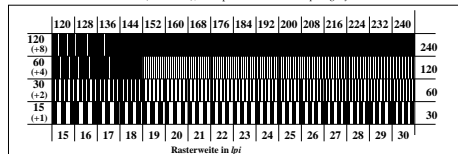


Bild C6: Linienraster unter 90° (oder 0°); PS-Operator:  $w^*lin\ 1.0\ exp\ setgray$